

Volba řezných podmínek pro obrábění superslitin s ohledem na integritu povrchu

Ing. Jiří Kyncl

Vedoucí práce: prof. Ing. Antonín Zelenka CSc.

Abstrakt

V současné době lze zaznamenat nárůst produkce dynamicky namáhaných strojních součástí vyrobených z tzv. superslitin. Mezi super slitiny lze řadit materiály jako Inconel, Hastelloy, Waspaloy, Nimonic nebo Titat. Výhody těchto materiálů jsou využívány zejména v leteckém průmyslu, při výrobě turbín, v kosmonautice či výrobě součástí pracujících za tepla. Díky svým speciálním vlastnostem jsou superslitiny velice těžce obrobitelné materiály, což je dáno zejména jejich vysokou tepelnou odolností při obrábění. U superslitin a těžkoobrobitelných materiálů jsou parametry obráběcího procesu nastaveny tak, že obecně dochází k většímu tepelnému, silovému i napěťovému zatížení obrobku i nástroje, a je tedy klíčové znát vztah mezi celkovým nastavením obráběcího procesu a dosaženými hodnotami parametrů integrity povrchu. Kvalita výrobku je klíčová nejen k úspěchu na vysoce konkurenčních trzích, ale zejména s ohledem na oblasti jejich uplatnění, kterými jsou zejména letecký průmysl a energetika, což jsou obory známé svými přísnými požadavky z důvodů katastrofálních dopadů případných havárií.

Z tohoto důvodu bylo navrženo experimentální 4-osé frézování turbínových lopatek z materiálu Inconel 738 LC a Inconel 718 různými řeznými podmínkami. Následně bylo provedeno měření a vyhodnocení parametrů prvku profilu obrobených lopatek. Integrita povrchu je velice rozsáhlé téma, proto se tento článek zaměřuje pouze na hodnocení parametrů drsnosti povrchu po obrábění superslitin.

Klíčová slova

Frézování; Inconel 738 LC; Inconel 718; superslitiny; drsnost povrchu, integrita povrchu;

1. Úvod

V rámci dizertační práce “Výzkum integrity povrchu pro zavedení nových progresivních technologií výroby na 4 a 5-ti osých obráběcích centrech“ byly odlity tyče ze slitiny Inconel 738 LC a Inconel 718 jako polotovary pro 4 osé obrábění turbínových lopatek. Lopatky byly následně obrobeny technologií 4 osého frézování různými řeznými podmínkami předem zvoleným řezným nástrojem. Účelem experimentu je zhodnocení drsnosti povrchu obrobených lopatek v závislosti na řezných podmínkách obrábění.

2. Superslitiny

Jako hlavní přednost superslitin, zejména niklových, lze chápat jejich tepelnou odolnost a schopnost si udržet mechanické a chemické vlastnosti při vysokých teplotách, vysoký bod tání, značná korozní odolnost včetně odolnosti vůči tvorbě oxidů doplněná o odolnost vůči teplotním šokům a creepu [6]. Tyto vlastnosti jsou důsledkem složité mikrostruktury i vlastní struktury jednotlivých krystalických fází, komplexního charakteru hranic zrn, přítomnosti defektů (zejména vakancí, vrstvených chyb a dislokací) a distribuce makroskopických,

mikroskopických a submikroskopických zbytkových napětí v jednotlivých fázích a v oblastech rozhraní.

2.1 Inconel 738 LC

Jedná se o vysoko pevnostní, korozivzdornou polykrystalickou superslitinu na bázi Ni, která je zpevněna koherentními precipitáty na bázi A3B (Ni3Al, Ni3AlTi).

Jde o nízkouhlíkovou modifikaci slitiny Inconel 738. Tato superslitina se používá na výrobu vysokoteplotně namáhaných součástí v leteckém a energetickém průmyslu a to především díky svým výjimečným mechanickým vlastnostem, strukturní stabilitě za vysokých teplot a odolnosti vůči oxidaci či korozi. Výrobky z Inconelu 738LC jsou schopny provozu až do cca 750°C.

Mechanické vlastnosti při 20 °C jsou $R_m \geq 927$ MPa, $R_{p0,2} \geq 772$ MPa, $A_5 > 4$ %. Dále creepové charakteristiky jsou kontrolovány při teplotě 870 °C ($R_{mT} \geq 309$ MPa s minimální dobou do lomu 50 hodin).

Chemické složení je v následující tabulce 1.

Tabulka 1. – Chemické složení INCONEL 738 LC [5]

INCONEL 738LC	Prvek (v % hmotnosti)							
	Ni	Cr	Fe	Mo	Nb	Co	Ta	Cu
	zbytek	15,9	0,15	1,74	0,88	8,26	1,65	-
	Prvek (v % hmotnosti)							
	Al	Ti	Zr	C	S	P	W	B
3,3	3,3	0,03	0,11	-	-	2,54	0,008	

2.2 Inconel 718

Slitina Inconel 718 se uplatňuje v plynových turbínách a výfukových systémech jako materiál pro tlakové nádoby nebo pro nádrže raket pro tuhá paliva [5].

I tento materiál je nutné tepelně zpracovávat, aby měl požadované vlastnosti. Tepelné zpracování se skládá z rozpouštěcího žhání při teplotě 980°C po dobu 1 hodiny a chladnutí na vzduchu, následným stárnutím (precipitačním žháním) při teplotě 720°C po dobu 8 hodin. Následuje zchlazení na 620°C kde se vydrží 18 hodin a proces končí pomalým chladnutím na vzduchu.

Mechanické vlastnosti jsou $R_m = 1205$ MPa, $R_{p0,2} = 1105$ MPa, $A_5 = 17\%$.

Chemické složení je v následující tabulce 2.

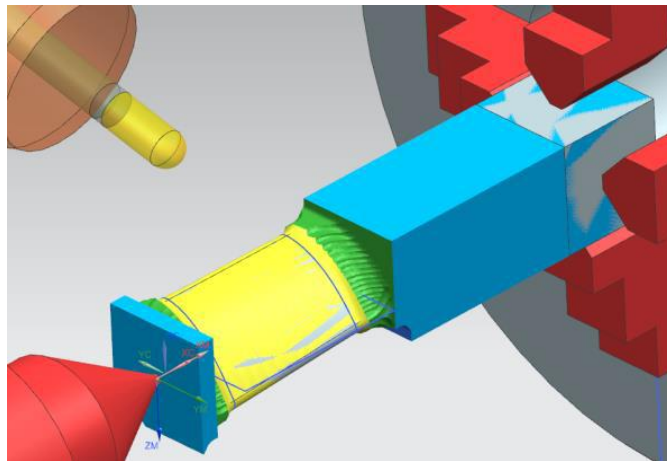
Tabulka 2. – Chemické složení INCONEL 718 [5]

INCONEL 718	Prvek (v % hmotnosti)							
	Ni	Cr	Fe	Mo	Nb	Co	Mn	Cu
	50,0 – 55,0	17,0-21,0	Zůstatek	2,8-3,3	4,75-5,5	1	0,35	02,-0,8
	Prvek (v % hmotnosti)							
	Al	Ti	Si	C	S	P	B	
0,65-1,15	0,3	0,35	0,08	0,015	0,015	0,006		

3. Experiment

Cílem celého experimentu je ověření vlivu řezných podmínek na výsledné drsnosti povrchu turbínových lopatek z materiálu Inconel 738 LC a Inconel 718.

Pro tento experiment byla vybrána lopatka, jejíž geometrie obsahuje komplexní tvarové i rovinné plochy. Technologie použitá pro výrobu této lopatky spočívá ve výrobě odlitku polotovaru ve tvaru hranolu a následného hrubování tvaru lopatky frézováním a konečného víceosého dokončení frézováním listu lopatky, viz. Obrázek 1.



Obr. 1. Model experimentální lopatky

K frézování byl použit stroj MCFV 1260 od výrobce Tajmac ZPS, a.s. Tento původně 3 osý stroj byl vybaven dodatečným přidavným stolem pro kontinuální obrábění a hydraulicky ovládaným koníkem, který slouží pro stanovení a udržení přesné polohy polotovaru.

Pro experiment dokončovacího frézování byla zvolena monolitní válcová fréza se zaoblením od výrobce Guehring s označením N05 - 3563 DIN 6527L R-NH 6 břitá 10,000x72x22 R1.

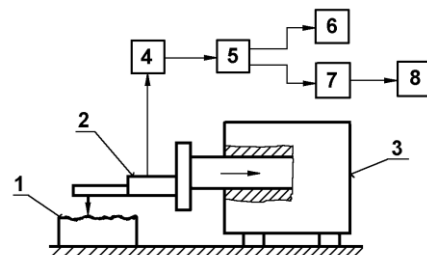
4. Způsob a postup měření

K měření parametrů drsnosti povrchu byla navržena a používá se celá řada metod, které lze rozdělit do čtyř skupin – na metody:

- porovnávací
- dotykové
- světelného řezu
- s využitím interference světla

Pro měření parametrů drsnosti povrchu byla zvolena metoda dotyková pomocí profiloměru. Popis profiloměru je následující:

1. měřená součást
2. snímací hlavice s měřícím hrotem
3. posuvový mechanismus
4. zesilovač
5. filtr
6. registrační jednotka
7. jednotka zpracovávající měřicí signál
8. zobrazovací jednotka



Obr. 2. Popis profiloměru

Mechanická část:

- stolek, na který se umísťuje měřená součást,
- rameno se snímacím hrotem, které se pohybuje určitou konstantní rychlostí a snímací hrot snímá nerovnosti povrchu,
- přímočarý vratný pohyb je zajištěn pomocí elektromotorku, popř. pneumaticky.

Elektronická část:

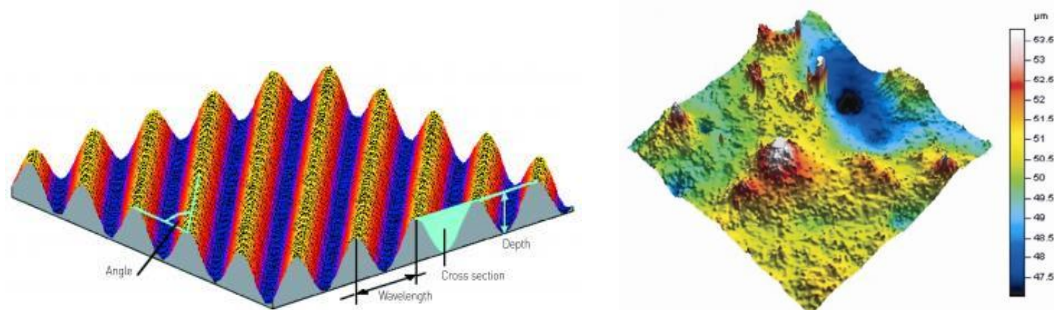
- transformuje mechanický signál generovaný snímacím hrotem sledujícím nerovnosti povrchu
- měřené plochy na elektrický signál, který se zpracovává (číselná hodnota příslušného
- parametru drsnosti nebo grafický záznam nerovnosti povrchu).

Měření probíhalo na profiloměru MAHR MarSurf XCR 20 vybaveným posuvovou jednotkou PGK a snímačem MFW-250 tracing arm 6851805. Na následujícím obrázku je znázorněno měření parametrů prvku profilu obroběných lopatek.



Obr. 3. Měření drsnosti na obroběných lopatkách

Volba vhodného filtru závisí na směru nerovností, které při každém obrábění nebo povrchové úpravě materiálu vznikají na jeho povrchu jako stopy. Ty jsou prostorově uspořádány a jejich vyhodnocení je technologicky náročné. Proto se nejčastěji používá zjednodušená metoda měření drsnosti povrchu v jednom řezu těchto nerovností. Směr nerovností na povrchu může být buď výrazný (periodický) nebo nevýrazný (aperiodický). Periodický povrch vzniká při soustružení, frézování, vrtání či broušení, tedy v případě, kdy nástroj vytváří na povrchu součásti rýhy v určitém směru. Aperiodický povrch vzniká při odlévání, kování, nanesením vrstvy nebo broušení.



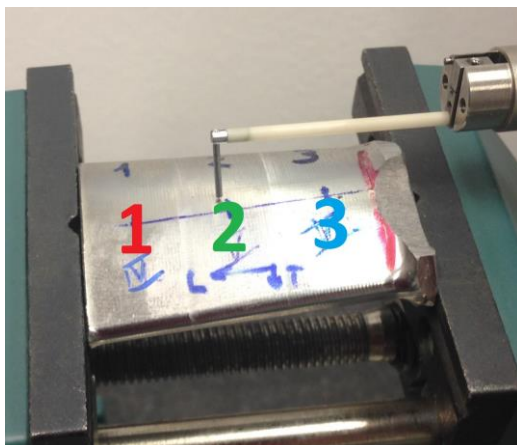
Obr. 4. Povrch periodický (vlevo) a povrch aperiodický (vpravo)

Pokud se jedná o povrch periodický, pak se volí vhodný filtr profilu λC , po prvním zkušebním náměru profilu, dle délkového parametru R_{sm} , jímž se označuje střední délka prvků drsnosti. Jedná-li se o povrch aperiodický, pak se volí vhodný filtr profilu λC , po prvním zkušebním náměru profilu, dle výškového parametru drsnosti R_a , jímž se označuje průměrná aritmetická úchylka prvků drsnosti.

V případě obrobených lopatek se jedná o finální povrch, který vznikal frézováním válcovou frézou o průměru 10mm se zaoblením R1. Jedná se tedy o povrch periodický, kde byl pro každý měřený vzorek po prvním zkušebním náměru zvolen vhodný filtr dle naměřené střední délky prvků drsnosti R_{sm} .

5. Výsledky měření

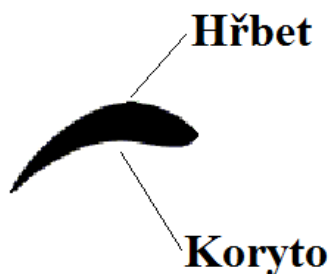
V rámci experimentu byly změřeny parametry drsnosti povrchu po obrábění lopatek z materiálu Inconel 738 LC a Inconel 718, které byly obrobeny různými řeznými. Parametry drsnosti povrchu byly měřeny na každé z lopatek ve třech oblastech viz.obr.5. Každá z oblastí odpovídá jiným řezným podmínkám. Pro každou oblast byl použit nástroj nový.



Obr. 5. Jednotlivé řezy měření parametrů drsnosti povrchu

Výsledky měření parametrů drsnosti povrchu na obrobených plochách a lopatkách budou pro přehlednost rozděleny na Inconel 738LC a na Inconel 718.

Pro vysvětlení pojmů hřbet a koryto lopatky slouží následující obrázek 6.



Obr. 6. Vysvětlení pojmů hřbet a koryto lopatky

Výsledky měření parametrů drsnosti povrchu pro Inconel 738LC jsou uvedeny v tab.3 a pro Inconel 718 jsou uvedeny v tab.4.

Tabulka 3. – Výsledky měření drsnosti povrchu po obrábění Inconelu 738LC

Nástroj	Obr.tvar	Oblast	Řezné podmínky				Drsnost	
			f_z	a_p	a_E	v_c	Ra	Rz
			[mm/z]	[mm]	[mm]	[m/min]	[μ m]	[μ m]
V10 - 6břit - R1	Hřbet	1	0,04	0,5	1,5	42	0,476	2,195
V10 - 6břit - R1	Koryto	1	0,04	0,5	1,5	42	0,423	1,983
V10 - 6břit - R1	Hřbet	2	0,07	0,5	1,5	42	0,391	1,811
V10 - 6břit - R1	Koryto	2	0,07	0,5	1,5	42	0,467	2,331
V10 - 6břit - R1	Hřbet	3	0,1	0,5	1,5	42	0,804	4,116
V10 - 6břit - R1	Koryto	3	0,1	0,5	1,5	42	0,666	3,345

Tabulka 4. – Výsledky měření drsnosti povrchu po obrábění Inconelu 718

Nástroj	Obr.tvar	Oblast	Řezné podmínky				Drsnost	
			f_z	a_p	a_E	v_c	Ra	Rz
			[mm/z]	[mm]	[mm]	[m/min]	[μ m]	[μ m]
V10 - 6břit - R1	Hřbet	1	0,07	0,5	1,5	42	0,479	2,402
V10 - 6břit - R1	Koryto	1	0,07	0,5	1,5	42	0,418	2,058
V10 - 6břit - R1	Hřbet	2	0,1	0,5	1,5	42	0,474	2,415
V10 - 6břit - R1	Koryto	2	0,1	0,5	1,5	42	0,49	2,497
V10 - 6břit - R1	Hřbet	3	0,13	0,5	1,5	42	0,486	2,393
V10 - 6břit - R1	Koryto	3	0,13	0,5	1,5	42	0,556	2,8
V10 - 6břit - R1	Hřbet	1	0,17	0,5	1,5	42	0,595	2,794
V10 - 6břit - R1	Koryto	1	0,17	0,5	1,5	42	0,474	2,331
V10 - 6břit - R1	Hřbet	2	0,2	0,5	1,5	42	0,856	4,604
V10 - 6břit - R1	Koryto	2	0,2	0,5	1,5	42	0,674	3,39
V10 - 6břit - R1	Hřbet	3	0,23	0,5	1,5	42	0,669	3,082
V10 - 6břit - R1	Koryto	3	0,23	0,5	1,5	42	0,758	3,875

6. Závěr

Z analýzy měření parametrů povrchu obrobených ploch Inconelu 738LC (tab.3) a zároveň z analýzy opotřebení jednotlivých nástrojů je výsledkem volba optimálních řezných podmínek pro 4-osé obrábění superslitiny Inconel 738 LC, tyto hodnoty jsou znázorněny v tab.3 žlutou barvou.

Vzhledem ke skutečnosti, že Inconel 718 je snáze obrobitelný než Inconel 738 LC, byl pro experiment obrábění tohoto materiálu zvolen větší rozsah řezných podmínek. Z analýzy měření parametrů povrchu obrobených lopatek z Inconelu 718 (tab.4) je výsledkem volba optimálních řezných podmínek pro 4-osé obrábění superslitiny Inconel 718, tyto hodnoty jsou znázorněny v tab.4 žlutou barvou.

V závěru tohoto článku je nutné zmínit, že z pohledu integrity povrchu turbínových lopatek, tento článek pojednává pouze o velmi úzké části této problematiky, jakou jsou parametry drsnosti povrchu. Pro komplexní analýzu integrity povrchu těchto turbínových lopatek bude dále nutné provést měření geometrické přesnosti obrobených lopatek s ohledem na jejich

model, analýzu tvrdosti a zpevnění povrchu a v neposlední řadě také analýzu průběhu a změny zbytkových napětí v povrchu lopatky.

Seznam symbolů

R_a	střední aritmetická úchylka profilu	(μm)
R_z	výška nerovnosti profilu určená z 10 bodů	(μm)
f_z	posuv na zub	(mm)
a_p	hloubka řezu	(mm)
a_e	příčný krok	(mm)
v_c	řezná rychlost	(m/min)
R_m	mez pevnosti	(MPa)

Seznam použité literatury

- [1] <http://books.fs.vsb.cz/StrojMetro/strojirenska-metrologie.pdf>
- [2] http://www.unimetra.cz/soubory_materialy/100_1.pdf
- [3] <http://www.proinex.cz/1-inspekni-pristroje%C2%A0pro-povrchove-upravy/priprava-povrchu/drsnost-povrchu-drsnomery.html>
- [4] <http://www.proinex.cz/1-inspekni-pristroje%C2%A0pro-povrchove-upravy/priprava-povrchu/drsnost-povrchu-drsnomery.html>
- [5] Holešovský, F., Hrala, M. Integrity of Ground Cylindrical Surface. *Journal of Material Processing Technology*. No.: 153-154 (2004), .714-721, ISSN 0924-0136
- [6] Y.B. Guo, W. Li, *Mach. Sci. Tech.* 13 (2009) 437-470.
- [7] A. Ginting, M. Nouari, *Int. J. Mach. Tools and Manuf.* 49 (2009) 325-332.
- [8] Z. Pala, *Analýza stavu zbytkové napjatosti v povrchových vrstvách soustružených korozivzdorných ocelí, řešeršní práce, 21 s, prosinec 2011.*
- [9] M.C. Shaw, *Ann. CIRP* 33 (1984) 221.
- [10] B.F. von Turkovich, *Encycl. Mater. Sci. Eng.* 1 (1986) 649.